



OFICINA ESPAÑOLA DE PATENTES Y MARCAS

ESPAÑA



11) Número de publicación: 2 663 596

(51) Int. CI.:

C12N 1/12 (2006.01) C12N 9/10 (2006.01) C12N 9/14 (2006.01)

C12P 7/64 (2006.01)

(12)

TRADUCCIÓN DE PATENTE EUROPEA

T3

21.07.2014 PCT/IB2014/002252 (86) Fecha de presentación y número de la solicitud internacional:

(87) Fecha y número de publicación internacional: 22.01.2015 WO15008160

E 14799885 (0) (96) Fecha de presentación y número de la solicitud europea: 21.07.2014 (97) Fecha y número de publicación de la concesión europea: 03.01.2018 EP 3022290

(54) Título: Cepa de algas modificada y método de acumulación de triacilglicerol utilizando dicha cepa

(30) Prioridad:

19.07.2013 US 201361856378 P

(45) Fecha de publicación y mención en BOPI de la traducción de la patente: 16.04.2018

(73) Titular/es:

CENTRE NATIONAL DE LA RECHERCHE SCIENTIFIQUE (C.N.R.S.) (33.3%) 3, rue Michel-Ange 75794 Paris Cedex 16, FR; **COMMISSARIAT À L'ENERGIE ATOMIQUE ET AUX ENERGIES ALTERNATIVES (33.3%) y** FERMENTALG (33.3%)

(72) Inventor/es:

CALLEJA, PIERRE; LETERRIER, MARINA y MARECHAL, ERIC

(74) Agente/Representante:

ELZABURU, S.L.P

DESCRIPCIÓN

Cepa de algas modificada y método de acumulación de triacilglicerol utilizando dicha cepa

Campo de la invención

La presente invención se refiere a una cepa de algas modificada en la que la actividad de la proteína CGI-58, o uno de sus homólogos, ha sido modificada para permitir la acumulación de aceite, ventajosamente de triacilglicerol.

Más precisamente, en una de sus realizaciones preferidas, la expresión del gen CGI-58 se silencia o se atenúa. La presente invención se refiere además a un método de acumulación de triacilglicerol usando dicha cepa modificada.

Antecedentes

5

10

15

20

25

30

35

40

45

Las diatomeas son un importante filo de la biodiversidad del fitoplancton en los océanos, el agua dulce y en diversos hábitats del suelo. Son responsables de hasta el 25% de la productividad primaria global. El estudio de este grupo de eucariotas se ha beneficiado de los desarrollos recientes en dos especies, Phaeodactylum tricornutum, un modelo de diatomeas pennadas y Thalassiosira pseudonana, un modelo de diatomeas marinas céntricas, para el cual se han realizado intensos esfuerzos para secuenciar sus genomas, definir datos de referencia para estudios de transcriptoma y proteoma de células enteras y, eventualmente, desarrollar herramientas moleculares para acelerar los análisis funcionales. Por lo tanto, las herramientas moleculares permiten descifrar el papel de las proteínas mediante tecnologías de eliminación de genes (RNAi) y la caracterización funcional de las líneas genéticamente modificadas obtenidas. La disponibilidad de modelos para diatomeas tanto pennadas como céntricas también es esencial para abordar características comunes o específicas de estos dos grupos.

Las diatomeas, como otras microalgas, se consideran una fuente alternativa plausible de hidrocarburos para reemplazar los combustibles fósiles, con la ventaja de tener un balance neutral de CO2, basado en la hipótesis de que el CO₂ y el agua pueden convertirse eficientemente en biomasa por fotosíntesis y que el metabolismo del carbono podría controlarse para que acumulasen el energéticamente rico triacilglicerol (TAG, también llamado aceite). Se ha centrado la atención en diferentes organismos fitoplanctónicos del superfilo Chromalevolata por su capacidad para acumular TAG, con rendimientos iniciales prometedores y una robustez y propiedades físicas adecuadas para ser implementadas en procesos industriales, incluyendo P. tricornutum. El P. tricornutum se utiliza actualmente para la producción industrial de ácidos grasos poliinsaturados omega-3, pero la implementación industrial de biocombustibles aún está limitada por el retraso del crecimiento y el bajo rendimiento en biomasa cuando la acumulación de TAG se desencadena utilizando métodos convencionales de inanición de nutrientes, tal como la inanición de nitrógeno. P. tricornutum exhibe propiedades interesantes para una implementación industrial, como la capacidad de crecer en ausencia de silicio o la sedimentación de las células que podría ser útil para las técnicas de cosecha. Por lo tanto, se necesitan avances en ingeniería genética y rendimientos agrícolas para aplicaciones de biocombustibles. Los intentos de promover la acumulación de TAG pueden basarse en diversas estrategias que pueden combinarse, incluida la estimulación de la biosíntesis de ácidos grasos y TAG, el bloqueo de vías que desvían el carbono hacia rutas metabólicas alternativas y, finalmente, la detención del catabolismo de TAG.

Muchas proteínas se asocian a gotitas de aceite y controlan el almacenamiento o la liberación del TAG utilizado para la energía, la biogénesis de la membrana o la señalización. CGI-58 (identificación de genes comparativo 58), una proteína del tipo α/β hidrolasa principalmente, es una de estas proteínas de gotas de lípidos implicadas en la hidrólisis del TAG en mamíferos. En ratones, la reducción de CGI-58 indujo un aumento de 4 veces en las células hepáticas. Existe un homólogo CGI-58 en las angiospermas y su eliminación en Arabidopsis condujo a la acumulación de gotitas de aceite en los tejidos foliares, que normalmente no almacenan lípidos. En los mamíferos, la actividad de CGI-58 está regulada por una proteína llamada perilipina. No se han identificado homólogos de esta proteína en las angiospermas. En Arabidopsis, se demostró que CGI-58 interactúa con PXA1, un transportador de ácidos grasos en la superficie de los peroxisomas, alimentando la ruta catabólica de la β-oxidación peroxisomal. Por lo tanto, CGI-58 aparece como una proteína localizada en la superficie de las gotas de aceite e interactuando con varias proteínas asociadas de animales a plantas, involucradas en el catabolismo de TAG. La acción de CGI-58 ocurre, por lo tanto, por diferentes mecanismos en diferentes organismos, con parejas proteícas distintas que siguen a la especie (por ejemplo, perilipina en mamíferos o PXA1 en angiospermas). No se han demostrado las posibles proteínas asociadas en diatomeas.

Descripción

La presente invención se refiere a una cepa de una especie perteneciente al reino Chromalveolata en la que se ha modificado la actividad de la proteína CGI-58 para permitir la acumulación de aceite, ventajosamente de triacilglicerol, en el que la cepa es una cepa genéticamente modificada en la que la expresión del gen CGI-58 se silencia o se atenúa.

Preferiblemente, el organismo protista o la cepa protista pertenece al reino Chromalveolata.

La expresión del gen CGI-58 se atenúa o se silencia (por ejemplo, eliminándola).

Si el gen se silencia, no hay expresión génica ni síntesis de proteína CGI-58.

5

10

15

30

40

Si el gen se atenúa, la expresión del gen y la síntesis de la proteína CGI-58 disminuyen al menos al 50%, preferiblemente al menos al 70% y más preferiblemente al menos al 90%.

Más preferiblemente, la cepa modificada es, respectivamente, una cepa de diatomeas o una diatomea, aún más preferiblemente una diatomea pennada o una cepa de diatomea pennada.

Ventajosamente, la diatomea pennada o la cepa de diatomea pennada es del género Phaeodactylum y, más preferiblemente, de la cepa Phaeodactylum tricornutum.

Un ejemplo de la cepa Phaeodactylum tricornutum es la cepa Phaeodactylum tricornutum (Pt1) Bohlin 8.6 CCMP2561 (Colección de Cultivo de Fitoplancton Marino, ahora conocida como NCMA: Centro Nacional de Algas Marinas y Microbiota).

La cepa modificada de acuerdo con la invención puede acumular o contener al menos 1,5 veces, preferiblemente 4 veces, el contenido de triacilglicerol de la cepa de tipo silvestre correspondiente.

Por "cepa de tipo silvestre correspondiente", se entiende la cepa, antes de la modificación que apunta a silenciar o atenuar la actividad de la proteína CGI-58, preferiblemente la expresión del gen CGI-58 (es decir, el organismo o la cepa no transformada).

De hecho, los inventores han demostrado que los protistas que albergan la construcción de silenciamiento contienen más aceite (> que 1,5 veces el aumento). En particular, la invención permite alcanzar un aumento de 4 veces. Además, también han demostrado que:

- Los protistas que albergan la construcción silenciadora contienen más aceite en medio de cultivo (tal como ESAW) que contiene nitrógeno (también llamado "medio enriquecido en nitrógeno", tal como nitrato de sodio, NaNO₃ 0,05 g/L o 0,034 g/L de elemento N) o sin nitrógeno (sin adición) que las células no transformadas de tipo silvestre;
 - Los protistas que albergan la construcción de silenciamiento contienen más aceite que las células no transformadas de tipo silvestre;
- Los protistas que albergan la construcción de silenciamiento acumulan petróleo antes que las células no transformadas de tipo silvestre;
 - La acumulación de aceite ocurre en la fase logarítmica temprana de crecimiento:
 - La acumulación de aceite no se correlaciona con un retraso del crecimiento.

La presente invención describe además un método de preparación de un organismo modificado genéticamente o cepa según la invención, que comprende la transformación de un organismo con un vector que expresa la construcción de ARNi diseñada para dirigir la expresión del gen CGI-58.

Ventajosamente, el vector se introduce en el organismo por métodos biolísticos (bombardeo de partículas) o electroporación.

Después de la transformación, se seleccionan y cultivan organismos en los que la expresión del gen CGI-58 o cualquier gen homólogo del mismo se atenúa o silencia.

La presente invención describe además un método de acumulación de triacilglicerol en un organismo que pertenece al reino Chromalveolata, que comprende la etapa de silenciar la expresión de CGI-58 en dicho organismo.

Ventajosamente, en dicho método de acumulación, el organismo se cultiva en un medio que contiene nitrógeno o alternativamente en un medio empobrecido en nitrógeno.

Después de 1 día (preferiblemente 3 días) en el medio de cultivo, se recogen los organismos genéticamente modificados y se recuperan los triacilgliceroles.

La invención abarca además el uso de un organismo modificado genéticamente o una cepa según la invención para la producción de triacilglicerol(es).

Más detalles y especificidades de la invención aparecerán en los siguientes ejemplos y figuras.

La Figura 1 describe la estrategia de silenciamiento de CGI-58 de Phaeodactylum tricornutum utilizada en la invención. La Figura 1A muestra una representación esquemática de la construcción hla-CGI-58 utilizada para la transformación. La Figura 1B muestra la secuencia completa del vector que alberga la secuencia antisentido de CGI-58

La Figura 2 describe una representación esquemática de la validación de la reacción en cadena de la polimerasa de la transformación genética de Phaeodactylum. Las flechas representan los cebadores de PCR utilizados en el experimento. Los fragmentos amplificados (1800 pb y 700 pb) solo se observan en células transformadas, no en células no transformadas.

5 pH4: promotor H4;

AS: fragmento antisentido correspondiente a CGI-58;

Ter: secuencia del terminador.

La Figura 3 describe el cribado de Phaeodactylum tricornutum transformado con el constructo antisentido CGI-58 basado en la intensidad de fluorescencia específica del Rojo Nilo 1_1, 1_10: líneas expresantes antisentido CGI-58 obtenidas según la invención después de la transformación de la cepa silvestre de P. tricornutum con el vector de expresión antisentido CGI-58 obtenido de acuerdo con la "construcción genética para el silenciamiento de CGI-58".

WT: P. tricornutum tipo silvestre.

(+N): medio de cultivo rico en nitrógeno

(-N): medio de cultivo sin nitrógeno.

Figura 4: Crecimiento y acumulación de cuerpos oleosos en Phaeodactylum tricornutum transformado con la construcción antisentido CGI-58.

Figura 4A. Curva de crecimiento y acumulación de aceite a lo largo del tiempo. El aceite se determinó durante el crecimiento. Los resultados obtenidos para P. tricornutum que contienen antisentido de CGI-58 son (---) en comparación con los obtenidos con el tipo silvestre de P. tricornutum (WT) (---).

20 Figura 4B. Observación mediante microscopía de la acumulación de aceite con la sonda de Rojo Nilo.

Ejemplo 1: Transformación de P. tricornutum silenciando la expresión genética de CGI-58 y la acumulación de aceite

1. Materiales y métodos

25

35

40

Cepa de Phaeodactylum tricornutum y condiciones de crecimiento. La cepa de Phaeodactylum tricornutum (Pt1) Bohlin 8.6 CCMP2561 (Colección de Cultivo de Fitoplancton Marino, ahora conocido como NCMA: Centro Nacional de Algas Marinas y Microbiota) se usó en todos los experimentos (Berges JA et al., 2001, J Phycol 37: 1138- 1145). Pt1 se cultivó a 20°C en un matraz de 250 mL usando medio de agua marina enriquecida (ESAW). Las células se cultivaron en un ciclo de luz 12:12 (450 µE⁻¹s⁻¹)/oscuridad. Las células se subcultivaron cada semana inoculando medio fresco con 1/5 de cultivo previo. El medio pobre en nitrógeno N(-) no contenía ninguna fuente de nitrógeno. El medio repleto de nitrógeno N(+) contenía 0,05 g/L de NaNO₃.

30 Construcción genética para el silenciamiento de CGI-58.

El ADN genómico se extrajo de la cepa Pt1 de Phaeodactylum tricornutum usando el siguiente procedimiento: 100 mg de células de Pt frescas se congelaron instantáneamente en nitrógeno líquido y se homogeneizaron en 400 µl de tampón de extracción (Tris-HCl 200 mM, pH 7,5; NaCl 250 mM; EDTA 25 mM); SDS 0,5%, p/v). Después de una centrifugación de 5 minutos a 10.000 x g, el sobrenadante se transfirió al mismo volumen de isopropanol para precipitar el ADN. Después de una centrifugación adicional de 15 minutos a 10.000 x g, el sedimento se lavó con etanol al 70%, se secó y se solubilizó en agua. La concentración de ADN se midió usando un espectrofotómetro Nanodrop 2000 (Thermo Scientific), y la calidad se verificó mediante electroforesis en gel de agarosa. Utilizando ADN genómico como matriz, se amplificó una secuencia de 436-pb por reacción en cadena de la polimerasa (PCR) con los siguientes cebadores diseñados a partir de XM_002183547 (homólogo de Pt CGI.58) y llevando respectivamente los sitios de restricción EcoRl y Xbal (secuencia subrayada): Pt. CGI-58. AS.F TCGAATTCTTGCAGGGTCGTCTGATGTA. Pt.CGI-58.AS.R CTAGATCTAGATGGCCCGACTTACTCACT. La PCR se realizó con un termociclador S1000™ (Bio-rad laboratory inc.) utilizando la polimerasa Phusion High Fidelity (Thermo Scientific) de acuerdo con las instrucciones del fabricante. El producto de PCR fue digerido por EcoR I y Xba I, purificado y clonado en el vector de expresión linealizado.

45 El vector de expresión utilizado para silenciar se generó a partir del vector antisentido hla (nombre en la publicación princeps de De Riso y colaborador: "h" significa promotor H4, "l" para "fragmento largo de este promotor" y "a" para antisentido desarrollado previamente (De Riso V et al, 2009, Nucleic Acids Res 37: e96), y que alberga una secuencia informadora de β-glucuronidasa (GUS).

El fragmento GUS 250 pb se escindió de hla con EcoR I y Xba I. La mezcla de ligación del vector hla escindido lineal y el fragmento antisentido CGI-38 de 436 pb se transformó luego en DH5α Escherichia coli. Las colonias positivas se identificaron mediante PCR, y los productos se secuenciaron posteriormente.

Primer método de transformación: transformación biolística

Los vectores se introdujeron en P. tricornutum mediante bombardeo de micropartículas utilizando un sistema de suministro de partículas Biolistic PDS-1000/He (Bio-Rad, Hercules, CA, EE.UU.), como se ha descrito previamente (Falciatore A et al., 1999, Mar Biotechnol (NY) 1: 239-251), equipado con discos de ruptura de 1.550 psi. Partículas de tungsteno (M-17) se recubrieron con 1 µg de ADN plasmídico, previamente linealizado por Pvu II, en presencia de CaCl₂ y espermidina. Una hora antes del bombardeo, aproximadamente 5x10⁷ células se extendieron en el centro de una placa que contenía 20 ml de medio de cultivo sólido (medio ESAW, agar 1%). Las placas se colocaron en el segundo nivel dentro de la cámara biolística para el bombardeo. Las células bombardeadas se dejaron recuperar durante 48 h antes de suspenderse en 1 ml de medio ESAW. 500 µl de esta suspensión se pusieron en placas en un medio sólido que contenía zeocina a 75 µg/ml. Después de dos a cuatro semanas de incubación en luz blanca (175 µmol m⁻².s⁻¹; fotoperíodo de 12 h) a 20°C, se recogieron colonias resistentes individuales y se sembraron en placas de agar ESAW frescas suplementadas con zeocina a 75 µg/ml y se inocularon en medio líquido ESAW para análisis adicionales. La presencia del transgen en Phaeodactylum tricornutum finalmente se validó mediante amplificación por PCR usando ADN genómico de colonias resistentes.

15 Segundo método de transformación: electroporación

Los vectores se introdujeron en P. tricornutum por electroporación con múltiples pulsos, siguiendo el método descrito por Miyahara et al (2013) Biosci. Biotechnol. Biochem, 77: 120936-1-3. Se pueden usar otros métodos de electroporación con múltiples pulsos.

Tinción con Rojo Nilo de gotas de aceite

10

30

35

40

45

50

55

La acumulación de gotitas de aceite se controló mediante tinción fluorescente con Rojo Nilo (Sigma Aldrich) (longitud de onda de excitación a 485 nm, emisión a 525 nm) como se ha descrito previamente (Cooksey KE et al., 1987, J. Microbiol. Meth. 6:333-345). En resumen, las células se diluyeron y se ajustaron a una densidad celular que se correlacionó linealmente con la fluorescencia del Rojo Nilo. Se añadió solución de Rojo Nilo (40 μl de una concentración madre de 2,5 μg/ml, en 100% de DMSO) a 160 μl de suspensión celular. La fluorescencia específica se determinó dividiendo la intensidad de fluorescencia del Rojo Nilo por el número de células. Los cuerpos oleosos teñidos con Rojo Nilo se visualizaron utilizando un microscopio Zeiss AxioScope.A1 (filtro FITC; longitud de onda de excitación a 488 nm; emisión a 519 nm).

Extracción con triacilglicerol (TAG), separación mediante cromatografía en capa fina, cuantificación y análisis. Se extrajeron triacilglicerol de 200 mg de células de Phaeodactylum tricornutum liofilizadas, de acuerdo con Domergue F et al., 2003, Plant Physiol 131: 1648-1660, para evitar la degradación de los lípidos. Brevemente, las células se congelaron en nitrógeno líquido inmediatamente después de la cosecha. El sedimento celular liofilizado se resuspendió en 4 ml de etanol hirviendo durante 5 minutos seguido de la adición de 2 ml de metanol y 8 ml de cloroformo a temperatura ambiente. La mezcla se saturó luego con argón y se agitó durante 1 h a temperatura ambiente. Después de la filtración a través de lana de vidrio, los restos celulares se enjuagaron con 3 ml de cloroformo/metanol 2:1, v/v. Para iniciar la formación de la bifase, se añadieron entonces 5 ml de NaCl al 1% al filtrado. La fase clorofórmica se secó en atmósfera de argón antes de volver a solubilizar el extracto lipídico en cloroformo puro. Para aislar TAG, los lípidos se corrieron en placas de cromatografía en capa fina de gel de sílice (TLC) (Merck) con hexano:dietiléter:ácido acético (70:30:1, v/v). Los lípidos se visualizaron luego bajo luz UV después de la pulverización del ácido 8-anilino-1-naftalenosulfónico al 2% en metanol. Luego se rasparon de las placas de TLC para análisis adicionales. Para el perfil de acilo y la cuantificación de TAG, los ácidos grasos se metilaron utilizando 3 ml de H₂SO₄ al 2,5% en metanol durante 1 hora a 100°C (incluidas las cantidades estándar de 21:0). La reacción se detuvo mediante la adición de 3 ml de agua y 3 ml de hexano. La fase de hexano se analizó mediante cromatografía líquida de gas (Perkin Elmer) en una columna BPX70 (SGE). Los ácidos grasos metilados se identificaron mediante la comparación de sus tiempos de retención con los de los estándares y se cuantificaron mediante el método del pico de superficie usando 21:0 para la calibración. La extracción y la cuantificación se realizaron al menos 3 veces.

2. Resultados

Generación de Phaeodactylum tricornutum que expresa una construcción antisentido CGI-38.

Solo un gen único que codifica un homólogo de CGI-58 (genbank XM_002183547; Phatrdraft 54974) se predijo en el genoma de P. thicornutum mediante búsqueda de similitud convencional de BlastP (Altschul SF et al., 1990, Journal of Molecular Biology 215: 403-410). Para dirigir el silenciamiento de Phatrdraft 54974, se construyó un vector cuya expresión estaba bajo el control del promotor H4 (De Riso V et al, 2009, Nucleic Acids Res 37:e96). El vector de expresión utilizado para silenciar se generó a partir del vector antisentido hla (nombre en la publicación princeps de De Riso y colaborador: "h" significa el promotor H4, "I" para "fragmento largo de este promotor" y "a" para antisentido desarrollado previamente (De Riso V et al, 2009, Nucleic Acids Res 37:e96). Este vector hla se ha modificado para eliminar el fragmento antisentido que inicialmente contenía correspondiente a un fragmento GUS, e introduce un fragmento antisentido correspondiente a CGI-58. La región objetivo para el silenciamiento correspondió a la porción final de la secuencia Phatrdraft 54974/CGI-58 (Figura 1).

Después de la transformación de Phaeodactylum usando una pistola de partículas o electroporación, las células transformadas se seleccionaron bajo presión de selección de zeocina y se seleccionaron clones putativos silenciados. La reducción del gen CGI-58 endógeno se controló entonces mediante RT-PCR cuantitativa usando cebadores correspondientes a una transcripción de longitud completa.

- En ausencia de anticuerpos específicos, no se pudo evaluar el nivel real de CGI-58. Sin embargo, un simple ensayo basado en células permite el análisis funcional de CGI-58 en el catabolismo de los cuerpos oleosos. Por lo tanto, las células transformadas se cribaron usando un ensayo de Rojo Nilo, que monitoriza directamente la acumulación de aceite dentro de las células en medio rico en nitrógeno (+N) o sin nitrógeno (-N) (Figura 3). Se observa una mayor cantidad de tinción de Rojo Nilo en comparación con los niveles de tipo silvestre (Figura 3). De manera muy notable, el mayor nivel de aceite que se acumula en las líneas de expresión antisentido de CGI-58, tal como en la línea 1_10, se observó en condiciones tanto ricas en nitrógeno como carentes de nitrógeno.
 - Después de la transformación de P. tricornutum con la construcción antisentido de CGI-58, las células se cultivaron durante 5 días, y luego se subcultivaron nuevamente en un medio que contenía nitrógeno o que carecía de este nutriente. Las células se analizaron después de 2 días de crecimiento en medio ESAW, con o sin nitrógeno. La fluorescencia del Rojo Nilo (NR) se midió usando un fluorímetro, y se expresó por 10⁶ células. El vector inicial que expresa un antisentido GUS (hla) se usó como control vectorial y no mostró diferencias con WT. WT, células de tipo silvestre no transformadas.

15

20

Se comparó el crecimiento de las células transformadas y las no transformadas, monitorizadas en paralelo en medio ESAW. Como se muestra en la Figura 4A, el crecimiento no muestra retraso y es comparable entre células transformadas y no transformadas.

Luego se analizó el fenotipo de las células y las gotas de aceite en las células transformadas y no transformadas. Como se muestra en la Figura 4B, las gotas de aceite aparecen temprano durante el crecimiento, con la formación de múltiples gotas que parecen converger para formar dos gotas grandes a cada lado del núcleo.

ES 2 663 596 T3

LISTA DE SECUENCIAS

_	LETERRIER Marina MARECHAL Eric								
5	<120> Cepa de algas modificada y método de acumulación de triacilglicerol utilizando dicha cepa								
	<130> B130274 QTA								
10	<150> PCT/US61/856378 <151> 19-07-2013								
	<160> 3								
15	<170> BiSSAP 1.3								
20	<210> 1 <211> 28 <212> ADN <213>Secuencia Artificial								
	<220> <223> Cebador PCR								
25	<400> 1 tcgaattctt gcagggtcgt ctgatgta 28								
30	<210> 2 <211> 29 <212> ADN <213>Secuencia Artificial								
35	<220> <223> Cebador PCR								
	<400> 2 ctagatctag atggcccgac ttactcact 29								
40	<210> 3 <211> 4611 <212> ADN <213>Secuencia Artificial								
45	<220> <223> Secuencia completa del vector que contiene la secuencia antisentido CGI-58								
	<400>3 ctaaattgta agcgttaata ttttgttaaa attcgcgtta aatttttgtt aaatcagctc	60							
	attttttaac caataggccg aaatcggcaa aatcccttat aaatcaaaag aatagaccga	120							
	gatagggttg agtgttgttc cagtttggaa caagagtcca ctattaaaga acgtggactc	180							
	caacgtcaaa gggcgaaaaa ccgtctatca gggcgatggc ccactacgtg aaccatcacc	240							
	ctaatcaagt tttttggggt cgaggtgccg taaagcacta aatcggaacc ctaaagggag	300							
	cccccgattt agagcttgac ggggaaagcc ggcgaacgtg gcgagaaagg aagggaagaa	360							
	agcgaaagga gcgggcgcta gggcgctggc aagtgtagcg gtcacgctgc gcgtaaccac	420							
	cacaccogco gogottaatg ogcogotaca gggogogotoc cattogocat toaggotgog	480							

ES 2 663 596 T3

caactgttgg g	gaagggcgat	cggtgcgggc	ctcttcgcta	ttacgccagc	tggcgaaagg	540
gggatgtgct g	gcaaggcgat	taagttgggt	aacgccaggg	ttttcccagt	cacgacgttg	600
taaaacgacg g	gccagtgagc	gcgcgtaata	cgactcacta	tagggcgaat	tggagctcgc	660
aatctcacgc a	accaggcgct	ggaagggcaa	cttgcggatg	agaaggtccg	tggacttctg	720
gtaacgacgg a	atctcacgca	gagcgacggt	tccagggcga	taacggtggg	gcttcttgac	780
tcctccggta g	gccggagcgg	acttgcgggc	agccttggtg	gcaagctgct	tgcgcggcgc	840
tttgcctccg g	gtggatttac	gggcggtttg	cttggttcgg	gccattttga	cggttttttt	900
tacaagagaa g	gagttcttga	aatttgtgag	gttaaagtgt	gtggcttccg	ccgtagtcaa	960
ggagcgtgcg g	gttgccgatc	gcaccggtac	gttctgtaga	aatgaacaca	gtgtgttgaa	1020
ttgaaagtat g	ggcgcaggta	tggtgtgtga	taagtagcag	ccgcgccgag	acaaacaaac	1080
tttggtttct a	acgacaatct	ctgtagacaa	gtactagaaa	cccgtttgaa	cgagcataaa	1140
tctgcaccgg c	caggccacca	gacatcgttt	caacgtaata	ttctacgtaa	ccattttatc	1200
ccaggaaacc t	tacggcctgt	gaaccaccga	gacggagcac	tcacaattcg	ctctcggcaa	1260
caaccgacaa t	tcgtcttact	cacagtcaat	accgaaaaca	aacaacagcc	atggccaagt	1320
tgaccagtgc o	cgttccggtg	ctcaccgcgc	gcgacgtcgc	cggagcggtc	gagttctgga	1380
ccgaccggct o	gggttctcc	cgggacttcg	tggaggacga	cttcgccggt	gtggtccggg	1440
acgacgtgac o	cctgttcatc	agcgcggtcc	aggaccaggt	ggtgccggac	aacaccctgg	1500
cctgggtgtg g	ggtgcgcggc	ctggacgagc	tgtacgccga	gtggtcggag	gtcgtgtcca	1560
cgaacttccg g	ggacgcctcc	gggccggcca	tgaccgagat	cggcgagcag	ccgtgggggc	1620
gggagttcgc o	cctgcgcgac	ccggccggca	actgcgtgca	cttcgtggcc	gaggagcagg	1680
actgaccgac g	gccgaccaac	accgccggtc	cgacgcggcc	cgacgggtcc	gaggccttct	1740
agatggcccg a	acttactcac	ttgatataca	tcaactcggg	gtgcatcttg	attcattgac	1800
cgtttagctt d	tgctgcttg	ctggacctgc	aatccaccat	ttgaatccat	ccaatcttga	1860
gcaccgtaca a	aaagcctac	cgaaggaacc	ttcaaatggg	gaatccgatg	caaggctggc	1920
tcctttgcaa a	aaataccagg	cgtcaagata	cgattaatgc	agtactctcc	ggatgcgggc	1980
aaggtgacgg d	gcttcgata	gaggtattcc	gataccgcga	cacgctcctt	ctcatcatca	2040
atcgccggta a	atcgacgacg	tacgtattcc	tgaatcatcc	gctcgctacg	actagtgggt	2100
aacatgcgca g	gcacgtctcc	gggagtttgc	cgcccgaaca	ggtagttgaa	tgttccgtac	21.60
atcagacgac d	cctgcaagaa	ttctgagcta	cctcgacttt	ggctgggaca	ctttcagtga	2220
ggacaagaag o	cttcagaagc	gtgctatcga	actcaaccag	ggacgtgcgg	cacaaatggg	2280
catccttgct o	ctcatggtgc	acgaacagtt	gggagtctct	atccttcctt	aaaaatttaa	2340
ttttcattag t	ttgcagtcac	tccgctttgg	tttcacagtc	aggaataaca	ctagctcgtc	2400
ttcaggtacc c	agcttttgt	tccctttagt	gagggttaat	tgcgcgcttg	gcgtaatcat	2460
ggtcatagct g	gtttcctgtg	tgaaattgtt	atccgctcac	aattccacac	aacatacgag	2520

ES 2 663 596 T3

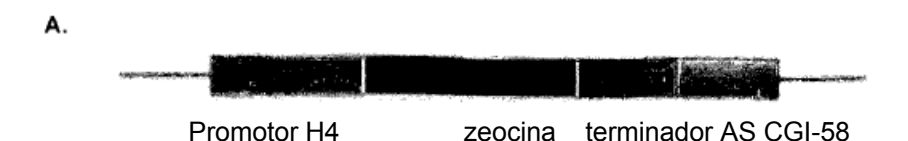
ccggaagcat	aaagtgtaaa	gcctggggtg	cctaatgagt	gagcťaactc	acattaattg	2580
cgttgcgctc	actgcccgct	ttccagtcgg	gaaacctgtc	gtgccagctg	cattaatgaa	2640
tcggccaacg	cgcggggaga	ggcggtttgc	gtattgggcg	ctcttccgct	tcctcgctca	2700
ctgactcgct	gcgctcggtc	gttcggctgc	ggcgagcggt	atcagctcac	tcaaaggcgg	2760
taatacggtt	atccacagaa	tcaggggata	acgcaggaaa	gaacatgtga	gcaaaaggcc	2820
agcaaaaggc	caggaaccgt	aaaaaggccg	cgttgctggc	gtttttccat	aggctccgcc	2880
cccctgacga	gcatcacaaa	aatcgacgct	caagtcagag	gtggcgaaac	ccgacaggac	2940
tataaagata	ccaggcgttt	cccctggaa	gctccctcgt	gcgctctcct	gttccgaccc	3000
tgccgcttac	cggatacctg	tccgcctttc	tcccttcggg	aagcgtggcg	ctttctcata	3060
gctcacgctg	taggtatctc	agttcggtgt	aggtcgttcg	ctccaagctg	ggctgtgtgc	3120
acgaaccccc	cgttcagccc	gaccgctgcg	ccttatccgg	taactatcgt	cttgagtcca	3180
acccggtaag	acacgactta	tcgccactgg	cagcagccac	tggtaacagg	attagcagag	3240
cgaggtatgt	aggcggtgct	acagagttct	tgaagtggtg	gcctaactac	ggctacacta	3300
gaaggacagt	atttggtatc	tgcgctctgc	tgaagccagt	taccttcgga	aaaagagttg	3360
gtagctcttg	atccggcaaa	caaaccaccg	ctggtagcgg	tggtttttt	gtttgcaagc	3420
agcagattac	gcgcagaaaa	aaaggatctc	aagaagatcc	tttgatcttt	tctacggggt	3480
ctgacgctca	gtggaacgaa	aactcacgtt	aagggatttt	ggtcatgaga	ttatcaaaaa	3540
ggatcttcac	ctagatcctt	ttaaattaaa	aatgaagttt	taaatcaatc	taaagtatat	3600
atgagtaaac	ttggtctgac	agttaccaat	gcttaatcag	tgaggcacct	atctcagcga	3660
tctgtctatt	tcgttcatcc	atagttgcct	gactccccgt	cgtgtagata	actacgatac	3720
gggagggctt	accatctggc	cccagtgctg	caatgatacc	gcgagaccca	cgctcaccgg	3780
ctccagattt	atcagcaata	aaccagccag	ccggaagggc	cgagcgcaga	agtggtcctg	3840
caactttatc	cgcctccatc	cagtctatta	attgttgccg	ggaagctaga	gtaagtagtt	3900
cgccagttaa	tagtttgcgc	aacgttgttg	ccattgctac	aggcatcgtg	gtgtcacgct	3960
cgtcgtttgg	tatggcttca	ttcagctccg	gttcccaacg	atcaaggcga	gttacatgat	4020
cccccatgtt	gtgcaaaaaa	gcggttagct	ccttcggtcc	tccgatcgtt	gtcagaagta	4080
agttggccgc	agtgttatca	ctcatggtta	tggcagcact	gcataattct	cttactgtca	4140
tgccatccgt	aagatgcttt	tctgtgactg	gtgagtactc	aaccaagtca	ttctgagaat	4200
agtgtatgcg	gcgaccgagt	tgctcttgcc	cggcgtcaat	acgggataat	accgcgccac	4260
atagcagaac	tttaaaagtg	ctcatcattg	gaaaacgttc	ttcggggcga	aaactctcaa	4320
ggatcttacc	gctgttgaga	tccagttcga	tgtaacccac	tcgtgcaccc	aactgatctt	4380
cagcatcttt	tactttcacc	agcgtttctg	ggtgagcaaa	aacaggaagg	caaaatgccg	4440
caaaaaaggg	aataagggcg	acacggaaat	gttgaatact	catactcttc	ctttttcaat	4500
		ggttattgtc gttccgcgca				4560 4611

REIVINDICACIONES

- 1. Cepa modificada de una especie perteneciente al reino Chromalveolata, en la que se modificó la actividad de la proteína CGI-58 para permitir la acumulación de aceite en la cepa, ventajosamente una acumulación de triacilglicerol, en el que la cepa es una cepa genéticamente modificada en la que la expresión del gen CGI-58 se silencia o atenúa.
- 2. Cepa modificada o genéticamente modificada según la reivindicación 1, que es una cepa de diatomeas.

5

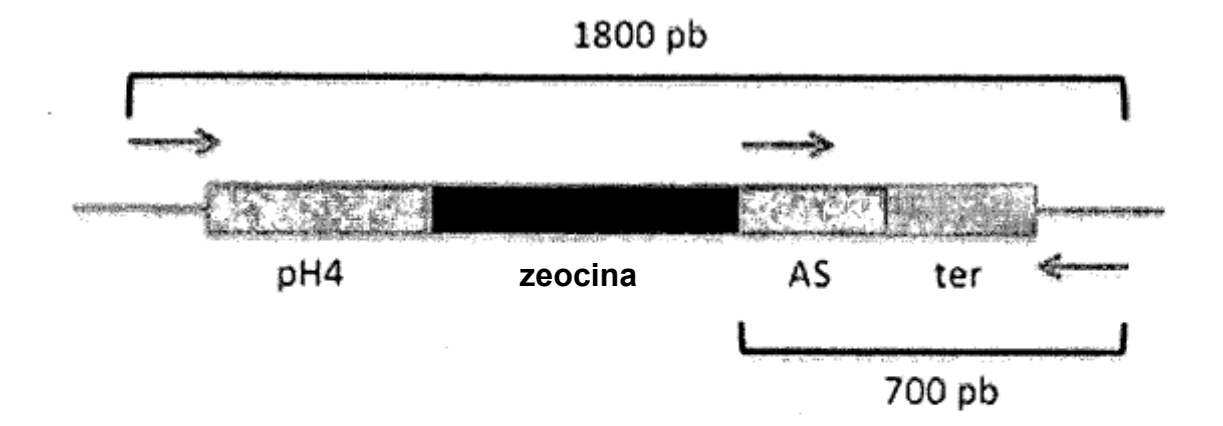
- 3. Cepa modificada o modificada genéticamente según la reivindicación 2, en la que la diatomea es una diatomea pennada.
- 4. Cepa modificada o genéticamente modificada según cualquiera de las reivindicaciones 2 ó 3, en la que la diatomea es del género Phaeodactylum.
 - 5. Cepa modificada o genéticamente modificada según cualquiera de las reivindicaciones 2 a 4, en la que la diatomea es Phaeodactylum tricornutum.
 - 6. Cepa modificada o modificada genéticamente de acuerdo con cualquiera de las reivindicaciones 1 a 5, que acumula o contiene al menos 1,5 veces el contenido de triacilglicerol de la cepa de tipo silvestre correspondiente.
- 7. Organismo o cepa modificado o modificado genéticamente de acuerdo con la reivindicación 6, que acumula o contiene al menos 4 veces el contenido de triacilglicerol de la cepa de tipo silvestre correspondiente.
 - 8. Método de preparación de una cepa genéticamente modificada del reino Chromalveolata como se describe en cualquiera de las reivindicaciones 1 a 7, que comprende la transformación de dicha cepa del reino Chromalveolata con un vector que expresa la construcción de ARNi diseñada para dirigir la expresión del gen de CGI-58.
- 20 9. Método según la reivindicación 8, en el que el vector se introduce en la cepa mediante bombardeo de partículas o electroporación.
 - 10. Método para aumentar la acumulación de triacilglicerol en una cepa perteneciente al reino Chromalveolata, que comprende la etapa de atenuar o silenciar la expresión del gen de CGI-58 en dicho organismo.
 - 11. Método según la reivindicación 10, en el que la cepa se cultiva en un medio enriquecido en nitrógeno.
- 25 12. Método según la reivindicación 10, en el que la cepa se cultiva en un medio empobrecido en nitrógeno.
 - 13. Uso de una cepa modificada o genéticamente modificada de acuerdo con cualquiera de las reivindicaciones 1 a 7 para la producción de triacilglicerol(es).
- 14. Método para la producción de triacilglicerol(es) que comprende las etapas de cultivar una cepa modificada genéticamente de acuerdo con una cualquiera de las reivindicaciones 1 a 7 en un medio de cultivo, recoger los organismos genéticamente modificados y recuperar el(los) triacilglicerol(es).



В. CTAAATTGTAAGCGTTAATATTTTGTTAAAATTCGCGTTAAATTTTTGTTAAATCAGCTCATTTTTTA ACCAATAGGCCGAAATCGGCAAAATCCCTTATAAATCAAAAGAATAGACCGAGATAGGGTTGAGT GTTGTTCCAGTTTGGAACAAGAGTCCACTATTAAAGAACGTGGACTCCAACGTCAAAGGGCGAAA AACCGTCTATCAGGGCGATGGCCCACTACGTGAACCATCACCCTAATCAAGTTTTTTGGGGTCGA GGTGCCGTAAAGCACTAAATCGGAACCCTAAAGGGAGCCCCCGATTTAGAGCTTGACGGGGAAA GCCGGCGAACGTGGCGAGAAAGGAAGGAAGGAAAGCGAAAGGAGCGGGCGCTAGGGCGCTGG CAAGTGTAGCGGTCACGCTGCGCGTAACCACCACCCCGCCGCGCTTAATGCGCCGCTACAGG GCGCGTCCCATTCGCCATTCAGGCTGCGCAACTGTTGGGAAGGGCGATCGGTGCGGGCCTCTT CGCTATTACGCCAGCTGGCGAAAGGGGGATGTGCTGCAAGGCGATTAAGTTGGGTAACGCCAG GGTTTTCCCAGTCACGACGTTGTAAAACGACGCCAGTGAGCGCGCGTAATACGACTCACTATA GGGCGAATTGGAGCTCGCAATCTCACGCACCAGGCGCTGGAAGGGCAACTTGCGGATGAGAAG GTCCGTGGACTTCTGGTAACGACGGATCTCACGCAGAGCGACGGTTCCAGGGCGATAACGGTG GGGCTTCTTGACTCCTCCGGTAGCCGGAGCGGACTTGCGGGCAGCCTTGGTGGCAAGCTGCTT GCGCGCCCTTTGCCTCCGGTGGATTTACGGCCGTTTGCTTGGTTCGGGCCATTTTGACGGTT TTTTTTACAAGAGAAGAGTTCTTGAAATTTGTGAGGTTAAAGTGTGTGGCTTCCGCCGTAGTCAAG GAGCGTGCGGTTGCCGATCGCACCGGTACGTTCTGTAGAAATGAACACAGTGTGTTGAATTGAAA CGACAATCTCTGTAGACAAGTACTAGAAACCCGTTTGAACGAGCATAAATCTGCACCGGCAGGCC ACCAGACATCGTTTCAACGTAATATTCTACGTAACCATTTTATCCCAGGAAACCTACGGCCTGTGA ACCACCGAGACGGAGCACTCACAATTCGCTCTCGGCAACAACCGACAATCGTCTTACTCACAGTC AATACCGAAAACAACAACAGCCATGGCCAAGTTGACCAGTGCCGTTCCGGTGCTCACCGCGCG CGACGTCGCCGGAGCGGTCGAGTTCTGGACCGACCGGCTCGGGTTCTCCCGGGACTTCGTGGA GGACGACTTCGCCGGTGTGGTCCGGGACGACGTGACCCTGTTCATCAGCGCGGTCCAGGACCA GGTGGTGCCGGACACACCCTGGCCTGGGTGTGGGTGCGCGGCCTGGACGACGTGTACGCCG GTGGCCGAGGAGCAGGACTGACCGACGCCGACCAACACCGCCGGTCCGACGCCGGCCCgACGG GTCCgAGGCCTTCTAGATGGCCCGACTTACTCACTTGATATACATCAACTCGGGGTGCATCTTGA CTTTGCAAAAATACCAGGCGTCAAGATACGATTAATGCAGTACTCTCCGGATGCGGGCAAGGTGA CGGCGCTTCGATAGAGGTATTCCGATACCGCGACACGCTCCTTCTCATCATCAATCGCCGGTAAT CGACGACGTACGTATTCCTGAATCATCCGCTCGCTACGACTAGTGGGTAACATGCGCAGCACGT CTCCGGGAGTTTGCCGCCCGAACAggTAGTTGAATGTTCCGTACATCAGACGACCCTGCAAGAAT TCtgagCTACCTCGACTTTGGCTGGGACACTTTCAGTGAGGACAAGAAGCTTCAGAAGCGTGCTAT CGAACTCAACCAGGGACGTGCGGCACAAATGGGCATCCTTGCTCTCATGGTGCACGAACAGTTG

GGAGTCTCTATCCTTAAAAAATTTAATTTTCATTAGTTGCAGTCACTCCGCTTTGGTTTCACAG TCAGGAATAACACTAGCTCGTCTTCAggtaccCAGCTTTTGTTCCCTTTAGTGAGGGTTAATTGCGC GCTTGGCGTAATCATGGTCATAGCTGTTTCCTGTGTGAAATTGTTATCCGCTCACAATTCCACACA ATTGCGTTGCGCTCACTGCCCGCTTTCCAGTCGGGAAACCTGTCGTGCCAGCTGCATTAATGAAT CGGCCAACGCGCGGGAGAGGCGGTTTGCGTATTGGGCGCTCTTCCGCTTCCTCGCTCACTGA GTTATCCACAGAATCAGGGGATAACGCAGGAAAGAACATGTGAGCAAAAGGCCAGCAAAAGGCC AGGAACCGTAAAAAGGCCGCGTTGCTGGCGTTTTTCCATAGGCTCCGCCCCCTGACGAGCATC ACAAAAATCGACGCTCAAGTCAGAGGTGGCGAAACCCGACAGGACTATAAAGATACCAGGCGTT TCCCCTGGAAGCTCCCTCGTGCGCTCTCCTGTTCCGACCCTGCCGCTTACCGGATACCTGTCC GCCTTTCTCCCTTCGGGAAGCGTGGCGCTTTCTCATAGCTCACGCTGTAGGTATCTCAGTTCGGT GTAGGTCGTTCGCTCCAAGCTGGGCTGTGTGCACGAACCCCCCGTTCAGCCCGACCGCTGCGC CTTATCCGGTAACTATCGTCTTGAGTCCAACCCGGTAAGACACGACTTATCGCCACTGGCAGCAG CCACTGGTAACAGGATTAGCAGAGCGAGGTATGTAGGCGGTGCTACAGAGTTCTTGAAGTGGTG GCCTAACTACGGCTACACTAGAAGGACAGTATTTGGTATCTGCGCTCTGCTGAAGCCAGTTACCT TCGGAAAAAGAGTTGGTAGCTCTTGATCCGGCAAACAACCACCGCTGGTAGCGGTGGTTTTTTT GTTTGCAAGCAGCAGATTACGCGCAGAAAAAAAGGATCTCAAGAAGATCCTTTGATCTTTTCTACG GGGTCTGACGCTCAGTGGAACGAAAACTCACGTTAAGGGATTTTGGTCATGAGATTATCAAAAAG CTTGGTCTGACAGTTACCAATGCTTAATCAGTGAGGCACCTATCTCAGCGATCTGTCTATTTCGTT CATCCATAGTTGCCTGACTCCCCGTCGTGTAGATAACTACGATACGGGAGGGCTTACCATCTGGC CCCAGTGCTGCAATGATACCGCGAGACCCACGCTCACCGGCTCCAGATTTATCAGCAATAAACCA AATTGTTGCCGGGAAGCTAGAGTAAGTAGTTCGCCAGTTAATAGTTTGCGCAACGTTGTTGCCAT GATCAAGGCGAGTTACATGATCCCCCATGTTGTGCAAAAAAGCGGTTAGCTCCTTCGGTCCTCCG ATCGTTGTCAGAAGTAAGTTGGCCGCAGTGTTATCACTCATGGTTATGGCAGCACTGCATAATTCT CTTACTGTCATGCCATCCGTAAGATGCTTTTCTGTGACTGGTGAGTACTCAACCAAGTCATTCTGA GAATAGTGTATGCGGCGACCGAGTTGCTCTTGCCCGGCGTCAATACGGGATAATACCGCGCCAC ATAGCAGAACTTTAAAAGTGCTCATCATTGGAAAACGTTCTTCGGGGCGAAAACTCTCAAGGATCT TACCGCTGTTGAGATCCAGTTCGATGTAACCCACTCGTGCACCCAACTGATCTTCAGCATCTTTTA CTTTCACCAGCGTTTCTGGGTGAGCAAAAACAGGAAGGCAAAATGCCGCAAAAAAGGGAATAAG GGCGACACGGAAATGTTGAATACTCATACTCTTCCTTTTTCAATATTATTGAAGCATTTATCAGGGT TATTGTCTCATGAGCGGATACATATTTGAATGTATTTAGAAAAATAAACAAATAGGGGTTCCGCGC ACATTTCCCCGAAAAGTGCCAC

FIGURA 1



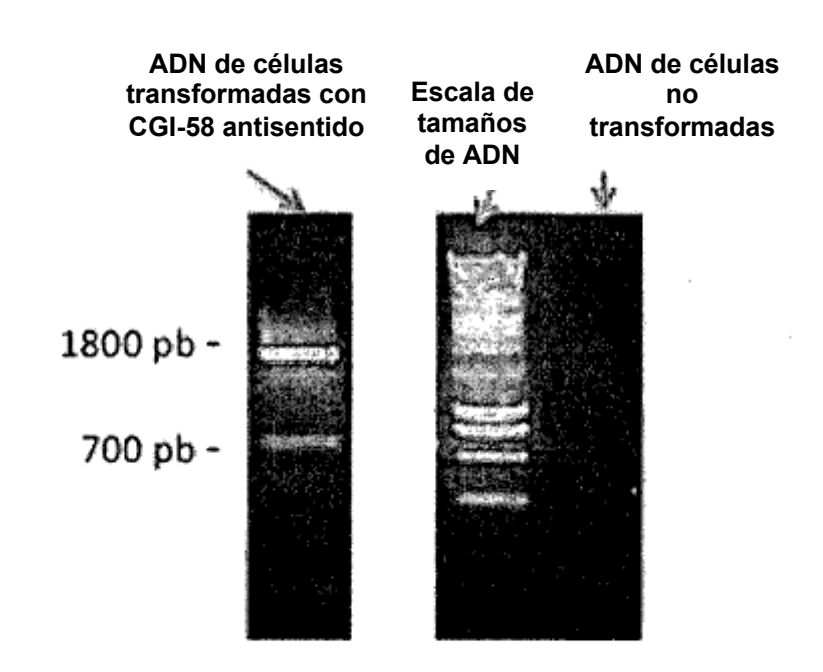


FIGURA 2

2 ejemplos de Pt que expresan CGI-58 antisentido (1_1 y 1_10) muestran un mayor contenido oleoso (Rojo Nilo) que el tipo silvestre (WT) en medio rico en nitrógeno y sin nitrógeno

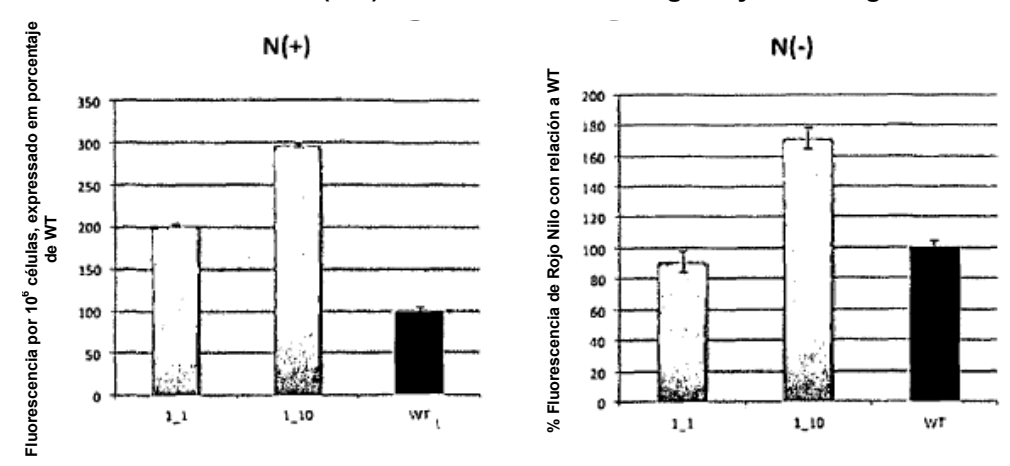


FIGURA 3

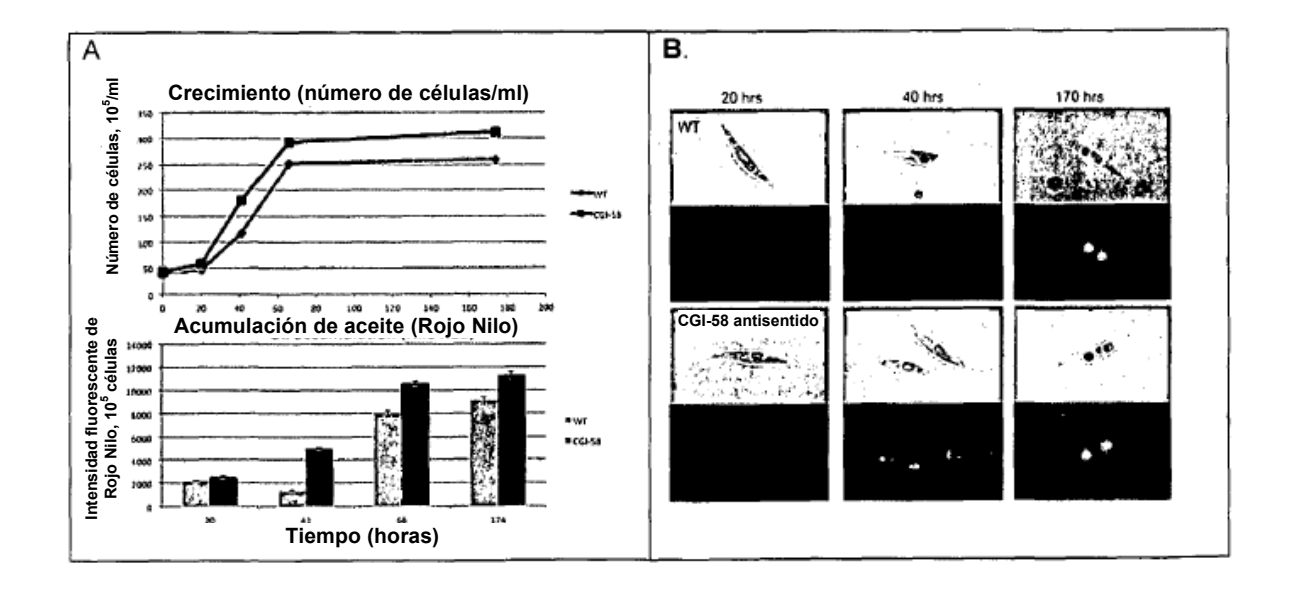


FIGURA 4